

МАТЕМАТИЧЕСКОЕ МОДЕЛИРОВАНИЕ ПРОДОЛЬНЫХ ДИНАМИЧЕСКИХ ВОЗМУЩЕНИЙ В ОБОЛОЧКЕ В СИСТЕМЕ ПОЛУБЕСКОНЕЧНАЯ ЦИЛИНДРИЧЕСКАЯ ОБОЛОЧКА С ЖИДКОСТЬЮ ПРИ ОСЕВОМ ИМПУЛЬСНОМ НАГРУЖЕНИИ

А.П.КОВАЛЕНКО

Институт механики им. С.П.Тимошенко НАН Украины

e-mail: dynamic@inmech.kiev.ua

В работе продолжена разработка аналитико-численного подхода к исследованию гидроупругих систем цилиндрическая оболочка – жидкость. Рассматривается полубесконечная цилиндрическая оболочка по теории оболочек типа Тимошенко. Жидкость рассматривается в акустическом приближении. На торце оболочки прикладывается импульсное нагружение. В пространстве изображений получено аналитическое решение во втором приближении для величин, характеризующих движение оболочки. Проведены численные расчеты для различных значений коэффициента взаимосвязи, учитывающего взаимное влияние жидкости и оболочки при импульсном нагружении. Анализ результатов показывает несущественное влияние жидкости на продольное напряжение в оболочке и значительное влияние на угол поворота сечения по теории оболочки типа Тимошенко.

1. ВСТУПЛЕНИЕ

Всесторонний учет взаимного влияния элементов гидроупругих систем (в частности жидкости и упругой оболочки) при различного рода нагрузках вызван потребностями современного развития авиационной и космической техники для предотвращения возможных нештатных и критических ситуаций. Особенно актуально изучение взаимного влияния элементов гидроупругих систем для динамических и нестационарных (импульсных и ударных) нагрузок на данную механическую систему. Необходимость таких исследований вызвана также проблемами снижения материалоемкости гидроупругих систем как элементов различных технических конструкций авиа- и космической техники, трубопроводов, емкостей для перевозки жидкостей и т.п. Актуальность всестороннего анализа взаимодействия элементов в таких гидроупругих системах вызвана также и практическими потребностями, а именно при расчете на прочность и улучшении эксплуатационных характеристик трубопроводов, топливных систем летальных аппаратов, емкостей для транспортировки жидких и газообразных продуктов и т.п.

Активные исследования в этой области проводятся на протяжении последних десятилетий. В работах рассматриваются разнообразные оболочечные гидроупругие системы под действием волновых и всевозможных динамических нагрузок [1-6,10,15,16]. Однако следует отметить, что не полностью исследовано взаимное влияние элементов гидроупругой системы при торцевых динамических и импульсных нагрузках и полностью раскрыт механизм взаимного влияния элементов гидроупругих систем при таких нагрузках.

В работе ставится цель продолжить разработку предложенного автором подхода к анализу системы цилиндрическая оболочка – жидкость [2-5] при осевых динамических и

импульсных нагрузках и исследовать влияние жидкости на продольное напряжение в оболочке и на угол поворота сечения (по теории оболочек типа Тимошенко) при осевой (торцевой) импульсной нагрузке.

2. ПОСТАНОВКА ЗАДАЧИ

Рассматривается гидроупругая система полубесконечная цилиндрическая оболочка – жидкость при осевом импульсном нагружении. Уравнение оболочки описывается уравнениями типа Тимошенко [14], позволяющими рассматривать динамические процессы в оболочке. Жидкость рассматривается в акустическом приближении [11], что также позволяет исследовать волновые процессы в жидкости. На торце оболочки $x=0$ прикладывается импульсная нагрузка по заданному закону $f(t) \cdot \eta(t)$, где $f(t)$ – закон задания импульсной нагрузки, $\eta(t)$ – функция Хэвисайда. Задача исследуется в безразмерных величинах. За характерную длину L выбрано радиус оболочки, т.е. $L=R$, а за характерное время T выбрана величина $T = R \sqrt{\frac{(1-\nu^2)\rho_1}{E}}$, где ν, E, ρ_1 – коэффициент Пуассона, модуль Юнга и плотность материала оболочки соответственно. При таком выборе характерных величин безразмерная продольная скорость возмущений в оболочке будет самой высокой и равной $C_p = 1$.

В результате математическую модель исследуемой задачи можно сформулировать следующим образом. Уравнения движения имеют вид

$$\begin{aligned} L_1(U, W, \Psi) - \frac{\partial^2 U}{\partial t^2} = 0; \quad L_2(U, W, \Psi) - \frac{1}{b^2} \frac{\partial^2 W}{\partial t^2} = K_s \frac{\partial \varphi}{\partial t}; \\ L_3(U, W, \Psi) - \frac{\partial^2 \Psi}{\partial t^2} = 0; \quad \Delta \varphi - \frac{1}{a^2} \frac{\partial^2 \varphi}{\partial t^2} = 0. \end{aligned} \quad (1)$$

Начальные условия при этом будут

$$t = 0: U = W = \Psi = \frac{\partial U}{\partial t} = \frac{\partial W}{\partial t} = \frac{\partial \Psi}{\partial t} = \varphi = \frac{\partial \varphi}{\partial x} = \frac{\partial \varphi}{\partial r} = \frac{\partial \varphi}{\partial t} = 0. \quad (2)$$

Граничные условия будут следующего вида

$$x = 0: \frac{\partial W}{\partial x} = \Psi = 0, \quad \frac{\partial U}{\partial t} = f(t) \cdot \eta(t), \quad \frac{\partial \varphi}{\partial x} = \frac{\partial U}{\partial t}; \quad (3)$$

$$x = \infty: U = W = \Psi = \frac{\partial \varphi}{\partial x} = \frac{\partial \varphi}{\partial r} = \frac{\partial \varphi}{\partial t} = 0; \quad (4)$$

$$r = 1: \frac{\partial \varphi}{\partial r} = \frac{\partial W}{\partial t}. \quad (5)$$

Здесь x, r – безразмерные продольная и радиальная координаты соответственно, t – время, U, W, Ψ – продольное, поперечное перемещение и угол поворота сечения по теории оболочек типа Тимошенко соответственно, φ – потенциал скоростей жидкости, $L_1(U, W, \Psi), L_2(U, W, \Psi), L_3(U, W, \Psi)$ – дифференциальные операторы по теории оболочек типа Тимошенко [14], $\Delta \equiv \frac{\partial^2}{\partial x^2} + \frac{\partial^2}{\partial r^2} + \frac{1}{r} \frac{\partial}{\partial r}$ – оператор Лапласа, $b = C_v = \sqrt{k^2(1-\nu)/2}$ – скорость распространения поперечных возмущений по стенке оболочки, k –

коэффициент сдвига по теории оболочек типа Тимошенко, a – безразмерная скорость звука в жидкости. Коэффициент $K_s = \frac{2R\rho_0}{h\rho_1k^2(1-\nu)}$ (ρ_0, h – плотность жидкости в состоянии покоя и толщина стенки оболочки соответственно) – введенный автором [2,3,5,15] коэффициент взаимосвязи элементов гидроупругой системы оболочка – жидкость.

3. РЕШЕНИЕ ПОСТАВЛЕННОЙ НАЧАЛЬНО-КРАЕВОЙ ЗАДАЧИ

Решение поставленной задачи (1)–(5) находится по разработанному автором [2-5,15] аналитико-численному подходу, который заключается в применении интегрального преобразования Лапласа-Карсона [8], метода простых итераций, метода Бубнова-Галеркина [9] и численного обращения преобразования Лапласа-Карсона с использованием смещенных полиномов Лежандра [7], модифицированного автором [4]. В результате в пространстве изображений по Лапласу-Карсону получено начальное, первое и второе приближение для U, W, Ψ, φ – продольного, поперечного перемещения оболочки, тангенса угла поворота сечения по теории оболочек типа Тимошенко и потенциала скоростей жидкости, соответственно. Структура второго приближения для искомых функций U, W, Ψ, φ в пространстве изображений имеет вид

$$W_2^* = (N_9 + N_{10}x) \cdot e^{-px} + (N_{13} + N_{14}x) \cdot e^{-\beta x} + (C_7 + N_{11}x) \cdot e^{-d_1 x} + N_{12} \cdot e^{-d_2 x} + \sum_{j=1}^N K_j e^{-\lambda_j x} \quad (6)$$

$$U_2^* = (C_9 + N_{17}x + N_{18}x^2) \cdot e^{-px} + (N_{20} + N_{21}x) \cdot e^{-\beta x} + (N_{15} + N_{16}x) \cdot e^{-d_1 x} + N_{19} \cdot e^{-d_2 x} + \sum_{j=1}^N L_j e^{-\lambda_j x} \quad (7)$$

$$\Psi_2^* = (N_{21} + N_{25}x) \cdot e^{-px} + (N_{27} + N_{28}x) \cdot e^{-\beta x} + (N_{22} + N_{23}x) \cdot e^{-d_1 x} + (C_{11} + N_{26}x) \cdot e^{-d_2 x} + \sum_{j=1}^N M_j e^{-\lambda_j x} \quad (8)$$

Продольное напряжение находим по формуле [12] $N_x^* = \frac{hE}{1-\nu^2} \left(\frac{\partial U^*}{\partial x} + \nu W^* \right)$

Здесь звездочкой помечены функции в пространстве изображений, p – параметр преобразования Лапласа-Карсона, N – количество удерживаемых членов по методу Бубнова-Галеркина,

$$d_1^2 = \frac{2(p^2 + 1)}{k^2(1-\nu)} + K_s a p, \quad d_2^2 = p^2 + \beta_{23}, \quad \beta_{23} = \frac{6k^2 R^2(1-\nu)}{h^2}, \quad \beta = \frac{p}{a},$$

$\lambda_j^2 = \alpha_j^2 + \beta^2$, α_j – корни уравнения $J_1(z) = 0$ ($J_1(z)$ – функция Бесселя первого порядка [13]). Коэффициенты в вышеприведенных выражениях находятся по следующим формулам:

$$\beta_{31} = \frac{2\nu}{k^2(1-\nu)}; \quad N_1 = -\frac{\beta_{31} f^*(p)}{p^2 - d_1^2}; \quad N_2 = -\frac{K_s a f^*(p)}{\beta^2 - d_1^2}; \quad C_1 = -\frac{pN_1 + \beta N_2}{d_1};$$

$$N_3 = \frac{\nu d_1 C_1}{d_1^2 - p^2}; \quad N_4 = \frac{-\nu N_1}{2}; \quad N_5 = \frac{\nu \beta N_2}{\beta^2 - p^2}; \quad C_3 = \frac{f^*(p)}{p} - N_3 - N_5; \quad N_6 = -\frac{\beta_{23} d_1 C_1}{d_1^2 - d_2^2};$$

$$N_7 = -\frac{\beta_{23} p N_1}{p^2 - d_2^2}; \quad N_8 = -\frac{\beta_{23} \beta N_2}{\beta^2 - d_2^2}; \quad C_3 = -N_6 - N_7 - N_8;$$

$$Y_{10} = (D_{10} + x Q_{30}) e^{-\beta x} + Q_{10} e^{-d_1 x} + Q_{20} e^{-px}; \quad Y_{1j} = D_{1j} e^{-\lambda_j x} + Q_{1j} e^{-d_1 x} + Q_{2j} e^{-px} + Q_{3j} e^{-\beta} \quad (j = \overline{1, N});$$

$$\begin{aligned}
 Q_{1j} &= \frac{M_{1j}}{d_1^2 - \lambda_j^2}, \quad Q_{2j} = \frac{M_{2j}}{p^2 - \lambda_j^2} \quad (j = \overline{0, N}); \quad Q_{3j} = \frac{M_{3j}}{\beta^2 - \lambda_j^2} \quad (j = \overline{1, N}); \quad Q_{30} = -\frac{M_{30}}{2\beta}; \\
 D_{1j} &= \frac{1}{\lambda} (-d_1 Q_{1j} - p Q_{2j} - \beta Q_{3j}) \quad (j = \overline{1, N}); \quad D_{10} = \frac{1}{\beta} (-d_1 Q_{10} - p Q_{20} + Q_{30}); \\
 M_{1j} &= -C_1 (p B_{2j} + a d_1^2 B_{2j}); \quad M_{2j} = -N_1 (p B_{1j} + a p^2 B_{2j}); \quad M_{3j} = -N_2 (p B_{1j} + a \beta^2 B_{2j}); \\
 (j = \overline{0, N}); \quad S_i &= Q_{10} + \sum_{j=1}^N Q_{ij} J_0(\alpha_j) \quad (i = \overline{1, 2}); \quad S_3 = D_{10} + \sum_{j=1}^N Q_{3j} J_0(\alpha_j); \quad S_4 = Q_{30}; \\
 N_{10} &= -\frac{\beta_{31} p N_4}{p^2 - d_1^2}; \quad N_9 = \frac{1}{p^2 - d_1^2} (\beta_{31} N_4 - \beta_{31} p C_3 - \beta_{32} p N_7 + K_s p S_2 + 2 p N_{10}); \\
 N_{14} &= \frac{K_s p S_4}{\beta^2 - d_1^2}; \quad N_{13} = \frac{1}{\beta^2 - d_1^2} (-\beta_{31} \beta N_5 - \beta_{32} \beta N_8 - K_s p S_3 + 2 \beta N_{14}); \\
 K_j &= \frac{K_s p D_{1j} J_0(\alpha_j)}{\lambda_j^2 - d_1^2} \quad (j = \overline{1, N}); \quad C_7 = \frac{1}{d_1} \left(N_{30} - p N_9 + N_{11} - d_2 N_{12} + N_{14} - \beta N_{13} - \sum_{j=1}^N K_j \lambda_j \right); \\
 N_{16} &= \frac{\nu d_1 N_{11}}{d_1^2 - p^2}; \quad N_{15} = \frac{1}{d_1^2 - p^2} (-\nu N_{11} + \nu d_1 C_7 + 2 d_1 N_{16}); \quad N_{18} = \frac{-\nu N_{10}}{4}; \\
 N_{17} &= -\frac{1}{2p} (-\nu N_{10} + \nu p N_9 - 2 N_{18}); \quad N_{19} = \frac{\nu d_2 N_2}{d_2^2 - p^2}; \quad N_{21} = \frac{\nu \beta N_{14}}{\beta^2 - p^2}; \\
 N_{20} &= \frac{1}{\beta^2 - p^2} (-\nu N_{14} + \nu \beta N_{13} + 2 \beta N_{21}); \quad L_j = \frac{-\nu \lambda_j K_j}{\lambda_j^2 - p^2} \quad (j = \overline{1, N}); \\
 C_9 &= \frac{f^*(p)}{p} - C_7 - N_{15} - N_{19} - N_{20} - \sum_{j=1}^N L_j; \quad N_{23} = -\frac{\beta_{23} d_1 N_{11}}{d_1^2 - d_2^2}; \quad N_{25} = -\frac{\beta_{23} p N_{10}}{p^2 - d_2^2}; \\
 N_{22} &= \frac{1}{d_1^2 - d_2^2} (\beta_{23} N_{11} - \beta_{23} d_1 C_7 + 2 d_1 N_{23}); \quad N_{24} = \frac{1}{p^2 - d_2^2} (\beta_{23} N_{10} - \beta_{23} p N_9 + 2 p N_{25}); \\
 N_{26} &= \frac{1}{2} \beta_{23} N_{12}; \quad N_{28} = -\frac{\beta_{23} \beta N_{14}}{\beta^2 - d_2^2}; \quad N_{27} = \frac{1}{\beta^2 - d_2^2} (\beta_{23} N_{14} - \beta_{23} \beta N_{13} + 2 N_{18}); \\
 M_j &= -\frac{\beta_{23} \lambda_j K_j}{\lambda_j^2 - d_2^2} \quad (j = \overline{1, N}); \quad C_{11} = -N_{22} - N_{24} - N_{27} - \sum_{j=1}^N M_j.
 \end{aligned} \tag{9}$$

Анализ решения (6)–(8) в пространстве изображений позволяет сделать следующие выводы: слагаемые с множителями e^{-px} и $e^{-d_2 x}$ соответствуют возмущениям, распространяющимся с самой высокой скоростью, равной единице (в безразмерном виде); слагаемые с множителями $e^{-d_1 x}$ соответствуют возмущениям, распространяющимся со скоростью распространения поперечных возмущений (в безразмерном виде это равно примерно 0,54); слагаемые с множителями $e^{-\beta x}$ соответствуют возмущениям, распространяющимся со скоростью распространения волновых возмущений в жидкости (в безразмерном виде это равно примерно 0,25); слагаемые с множителями $e^{-\lambda_j x}$ соответствуют слагаемым, которые возникают вследствие применения метода Галеркина (здесь присутствуют возмущения, распространяющиеся со всеми вышеперечисленными скоростями системы). Сходимость метода Бубнова-Галеркина рассматривалась в практическом смысле.

4. ЧИСЛЕННЫЕ РЕЗУЛЬТАТЫ И ИХ АНАЛИЗ

На основании найденного решения (6)–(9) получены численные результаты для импульсной нагрузки $f(t) = V_0 \leq 0,03C_p$ [10]. Результаты представлены для различных значений коэффициента взаимосвязи K_s . Необходимо отметить, что значение $K_s = 0$ соответствует отсутствию жидкости в оболочке, а для системы алюминий–керосин при $h/R = 0,1$ коэффициент взаимосвязи $K_s \approx 10$. На рис.1 показано продольное напряжение на стенке оболочки в сечении $x = 1$. В момент времени $t = x/C_p = 1/1 = 1$ этого сечения достигает самая быстрая (продольная) волна в оболочке а при $t = x/C_v = 1/0,54 \approx 1,85$ этого сечения достигает поперечная волна в оболочке. При $t = x/a = 1/0,25 = 4$ этого

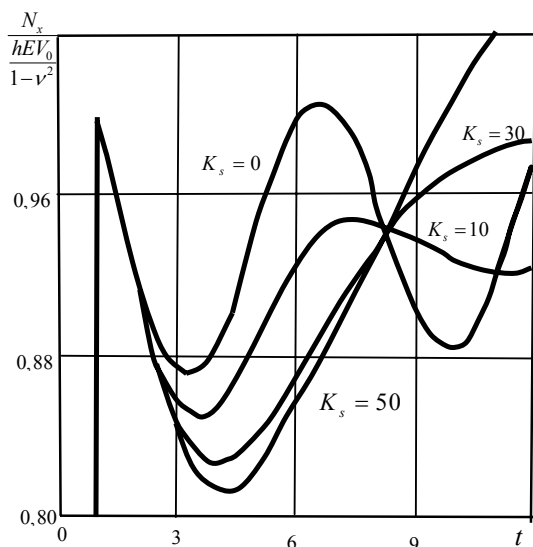


Рис.1

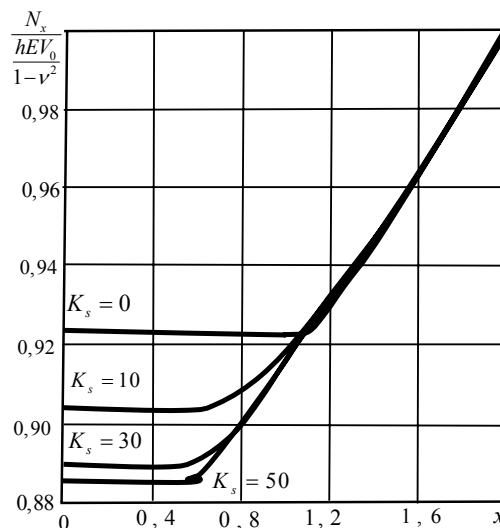


Рис.2

сечения достигает волна сжатия в жидкости. На рис.2 показано распределение продольных напряжений для момента времени $t = 2$ по продольной координате x . Область $x \in [0; 0,5]$ находится под воздействием всех трех основных волн в данной гидроупругой системе. Здесь влияние жидкости отчетливо просматривается (в отличие от области $x \in [1; 2]$, где это влияние практически незаметно). На рис.3 изображено значение угла поворота радиального волокна относительно оси x по теории оболочек типа Тимошенко в момент времени $t = 2$ в зависимости от продольной координаты x .

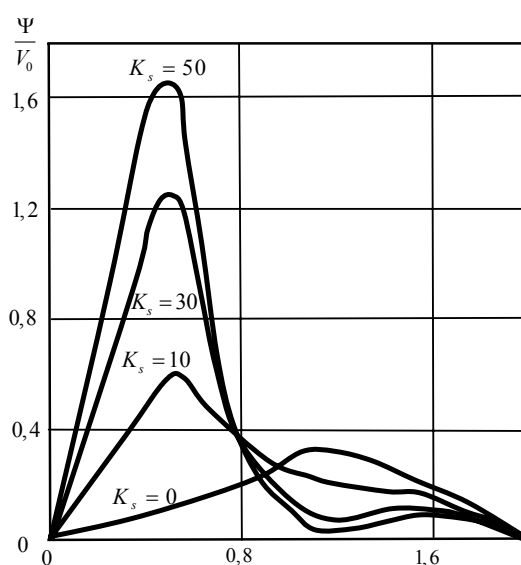


Рис.3

На основании результатов, представленных на рис.1,2 можно сделать вывод, что жидкость оказывает несущественное влияние на продольное напряжение в оболочке (влияние жидкости на поперечные перемещения проанализировано в [2,5]). Из результатов, представленных на рис.3 следует, что жидкость оказывает существенное влияние на угол поворота радиального волокна относительно оси x по теории оболочек типа Тимошенко.

Таким образом в данной работе на основании разработанного подхода проанализировано влияние жидкости на продольное напряжение в оболочке и угол поворота радиального волокна относительно оси x по теории оболочек типа Тимошенко для рассматриваемой гидроупругой системы.

ЛИТЕРАТУРА

1. Динамика элементов конструкций / Под ред. В.Д.Кубенко.–К.: “АСК”,1999.– 379с.– (Механика композитов. В 12-ти томах: Т.9)
2. Коваленко А.П. Исследование переходных процессов в цилиндрической оболочке с жидкостью при ударном возбуждении.–Прикл.механика,1979,15, №11,с.68-75.
3. Коваленко А.П. О взаимодействии оболочки с жидкостью при ударе о преграду.– Докл.АН УССР. Сер.А, 1980, №1, С.38-41.
4. Коваленко А.П. Анализ погрешности численного обращения преобразования Лапласа - Карсона. //Труды IX научн. конф. мол. ученых Имех АН УССР.– 1982.– С.103-107.
5. Коваленко А.П. Знаходження потенціалу швидкостей рідини при поширенні хвиль в нескінченній циліндричній оболонці з рідиною. КОНСОНАНС-2005, Акустичний симпозиум (27-29 вересня 2005 р.). Збірник праць.-Київ.-2005 – С.209-214
6. Ковальчук П.С., Кубенко В.Д. Взаимодействие колеблющихся цилиндрических оболочек с содержащейся в них жидкостью /Динамика тел взаимодействующих со средой / Под ред . А.Н.Гузя.–К.: Наук. Думка,1991.–С.168-214
7. Крылов В.И., Скобля Н.С. Методы приближенного преобразования Фурье и обращения преобразования Лапласа.– М.: Наука, 1974.–224с
8. Лурье А.И. Операционное исчисление. – М.-Л.: Гостехиздат, 1950.– 431с
9. Михлин С.Г. Численная реализация вариационных методов.– М.: Наука, 1966.– 432с.
10. Сагомоян Е.А. О распространении продольных волн в цилиндрической оболочке.– Вестн.Моск.ун-та. Математика, механика. 1977.– №1.–С.111-112.
11. Седов Л.И. Механика сплошной среды. – М.: Наука, 1976.–Т.2.–574с.
12. ЧжоуБей-чжи. Расчет осесимметричных движений цилиндрических оболочек по методу характеристик.- Ракетная техника и космонавтика,1968,№8, С.64-70.
13. Янке Е., Эмде Ф., Леш Ф. Специальные функции.– М.: Наука, 1977.– 342с.
14. Gerrmann G., Mirsky J. Three-dimensional and shell-theory analysis of axially motions of cylinder// J. Appl. Mech.–1956.–**23**, №4.–P.563-568.
15. Kovalenko A.P. Investigation of Translents in a Cylindrical Shell with Fluid under Shock Excitation //Soviet Appl. Mech.– 1979.–**15**, №11.–P.1067-1072.
16. Koval'chuk P.S., Filin V.G. On modes of Flexural of initially Bent Cylindrical Shells Partially Filled with a Liquid // Int. Appl. Mech.– 2003.–**39**, №4.–P.464-471.